

Т. А. МАРТЫНОВИЧ, В. Е. ЮРИНЕЦ

КОНТАКТНОЕ ВЗАИМОДЕЙСТВИЕ НЕОДНОРОДНОЙ ОРТОТРОПНОЙ ПЛАСТИНЫ С НЕСИММЕТРИЧНО ПОДКРЕПЛЯЮЩИМ УПРУГИМ ЭЛЕМЕНТОМ

1. Рассмотрим неоднородную ортотропную полубесконечную пластину, прямолинейный край которой по всей длине несимметрично подкреплен упругим элементом постоянного сечения. Подкрепляющий элемент спаян с пластиной до деформации таким образом, что ось упругого элемента параллельно смещена от срединной плоскости пластины на некоторую величину ζ_0 (эксцентриситет подкрепления). Сопряжение пластины с подкрепляющим элементом осуществляется на фактической плоскости спая.

К упругому подкрепляющему элементу приложены внешние изгибающие моменты $M(x)$, перерезывающие силы $P(x)$ и усилия $N(x)$ и $T(x)$ (N, T — нормальная и касательная составляющие заданных усилий). Со стороны подкрепляющего элемента на пластину будут передаваться контактные изгибающие моменты $M^{(i)}(x)$, перерезывающие силы $P^{(i)}(x)$ и усилия $N^{(i)}(x)$, $T^{(i)}(x)$. Следовательно, на контуре спая пластины с упругим элементом имеем условия сопряжения

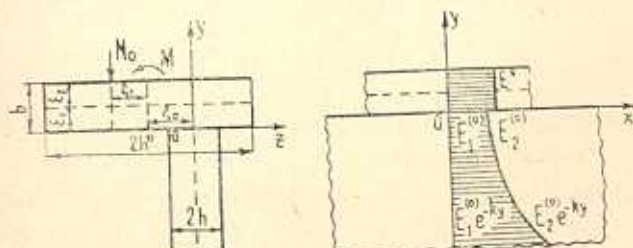
$$(u_1)_{y=0} = u_2; \quad (v_1)_{y=0} = v_2; \quad (w_1)_{y=0} = w_2; \quad \left(\frac{dw_1}{dy} \right)_{y=0} = \frac{dw_2}{dy} \quad (1.1)$$

$$(z_y)_{y=0} = N^{(i)}(x); \quad (\tau_{xy})_{y=0} = T^{(i)}(x); \quad (M_g)_{y=0} = M^{(i)}(x)$$

$$\left(N_g + \frac{\partial H_{xy}}{\partial x} \right)_{y=0} = P^{(i)}(x)$$

где u_1, v_1, w_1 и u_2, v_2, w_2 — компоненты вектора смещения пластины и подкрепляющего элемента.

Независимо от вида нагружения при наличии эксцентриситета подкрепления пластина испытывает изгибное и обобщенное плоское напряженное состояния (фиг. 1). При $\zeta_0 = 0$ задача расщепляется на плоскую и изгиб.



Фиг. 1.

Модули упругости и модуль сдвига неоднородной ортотропной пластины меняются по закону

$$E_1(y) = E_1^{(0)} e^{-ky}, \quad E_2(y) = E_2^{(0)} e^{-ky}, \quad G(y) = G^{(0)} e^{-ky} \quad (1.2)$$

где k — величина, характеризующая степень неоднородности материала.

Предполагается, что модуль сдвига связан с модулями упругости следующим образом:

$$G^{(0)} = \frac{E_1^{(0)} E_2^{(0)}}{F_1^{(0)} (1 + 2v_2) + E_2^{(0)}} \quad (1.3)$$

Соотношение (1.3) дает возможность рассматривать численные примеры в относительных величинах $E_1^{(0)}/\Sigma_2^{(0)}$, в противном случае для $G^{(0)}$ можно задавать конкретные числовые данные, не учитывая выражения (1.3). Коэффициенты Пуассона v_1 и v_2 предполагаются постоянными.

2. Подкрепляющий упругий элемент рассчитывался по теории криволинейных стержней. При малых деформациях, принимая гипотезу нормального сечения, вдоль контура спая пластины со стержнем ($y = 0$) имеют место следующие кинематические соотношения:

$$\begin{aligned} \frac{du_2}{dx} &= e_0 - \varepsilon_1 \frac{d\theta_x}{dx} - \varepsilon_2 \frac{d\theta_y}{dx}, & \frac{dv_2}{dx} &= -\theta_x \\ \frac{dw_2}{dx} &= \theta_y + \varepsilon_1 \frac{d\theta_x}{dx}, & \frac{dw_2}{dy} &= -\theta_y \end{aligned} \quad (2.1)$$

где e_0 — деформация оси стержня; θ_x , θ_y , θ_z — углы поворота поперечного сечения стержня вокруг координатных осей x , y , z .

Из уравнений равновесия элемента стержня найдем

$$\begin{aligned} \frac{dV_y}{dx} &= 2hN^{(i)} - 2h^*N, & \frac{dV_z}{dx} &= 2hT^{(i)} - 2h^*T \\ \frac{dV_x}{dx} &= P^{(i)} - P, & \frac{d^2L_y}{dx^2} &= P - P^{(i)} - 2h\varepsilon_0 \frac{dT^{(i)}}{dx} + 2h^*\varepsilon_1 \frac{dT}{dx} \\ \frac{dL_x}{dx} &= M^{(i)} - M + 2h\varepsilon_0 N^{(i)} + \varepsilon_1 P^{(i)} + \varepsilon_2 P - 2h^*\varepsilon_1 N & (2.2) \\ \frac{d^2L_z}{dx^2} &= 2hN^{(i)} - 2h^*N - 2h^*\varepsilon_2 \frac{dT}{dx} - 2h\varepsilon_1 \frac{dT^{(i)}}{dx} \end{aligned}$$

где V_x , V_y , V_z и L_x , L_y , L_z — составляющие по осям xyz главного вектора \vec{V} и главного момента \vec{L} внутренних усилий, действующих в произвольном сечении стержня; ε_1 и ε_2 — расстояния волокон стержня от его нейтрального слоя (оси) соответственно внутреннего и внешнего края; $b = \varepsilon_1 + \varepsilon_2$ — высота стержня; $2h^*$ — толщина края стержня, который не соприкасается с пластиной; $2h$ — толщина пластины; ε_1 — эксцентриситет приложения внешнего нормального усилия.

При малых деформациях закон Гука для стержня сводится к соотношениям

$$e_0 = \frac{V_z}{g_1}, \quad \frac{d\theta_z}{dx} = \frac{L_z}{g_2}, \quad \frac{d\theta_y}{dx} = \frac{L_y}{A}, \quad \frac{d\theta_x}{dx} = \frac{L_x}{C} \quad (2.3)$$

где $g_1 = E^* F_0$, $g_2 = E^* I_z$, $A = \Sigma^* I_y$, C — жесткости стержня соответственно на растяжение, изгиб и кручение; F_0 — площадь нормального сечения стержня; E^* — модуль упругости материала стержня; I_z , I_y — моменты инерции стержня.

В работе используется интегральное преобразование Фурье по переменной x

$$\begin{aligned} \bar{F}(t, y) &= \frac{1}{\sqrt{2\pi}} \int_{-\infty}^{\infty} F(x, y) e^{i k x} dx \\ F(x, y) &= \frac{1}{\sqrt{2\pi}} \int_{-\infty}^{\infty} \bar{F}(t, y) e^{-i k x} dt \end{aligned} \quad (2.4)$$

Из равенств (2.1), (2.2), (2.3), используя интегральное преобразование Фурье (2.4), находим

$$\begin{aligned} i\lambda^3 \bar{u}_2 &= 2h^* \dot{\nu} \left(\frac{1}{G_2} + \frac{\zeta_0 \varepsilon_1}{A} \right) \bar{T} - 2h \dot{\nu} \left(\frac{1}{G_1} + \frac{\varepsilon_0^2}{A} \right) \bar{T}^{(i)} - \\ &- \frac{2h \varepsilon_1}{g_2} \bar{N}^{(i)} - \frac{2h^* \varepsilon_1}{g_2} \bar{N} + \frac{\zeta_0}{A} \bar{P}^{(i)} - \frac{\zeta_0}{A} \bar{P} \\ i\lambda^4 \bar{v}_2 &= \frac{2h^*}{g_2} \bar{N} - \frac{2h}{g_2} \bar{N}^{(i)} - i\lambda \frac{2h \varepsilon_1}{g_2} \bar{T}^{(i)} - \dot{\nu} \frac{2h^* \varepsilon_2}{g_2} \bar{T} \\ \bar{w}_2 &= i \frac{2h^* \zeta_0}{\lambda^3 A} \bar{T}^{(i)} - \frac{2h^* \zeta_0}{\lambda^2 C} \bar{N}^{(i)} - \left(\frac{\varepsilon_1}{\lambda^2 C} + \frac{1}{\lambda^4 A} \right) \bar{P}^{(i)} - \frac{\varepsilon_1}{\lambda^2 C} \bar{M}^{(i)} + \\ &+ \left(\frac{1}{\lambda^4 A} - \frac{\varepsilon_1 \varepsilon_2}{\lambda^2 C} \right) \bar{P} - \frac{2h^* \varepsilon_1}{\lambda^2 C} \bar{N} - i \frac{2h^* \varepsilon_1}{\lambda^3 A} \bar{T} + \frac{\varepsilon_1}{\lambda^2 C} \bar{M} \\ \frac{dw_2}{dy} &= \frac{2h^* \zeta_0}{\lambda^2 C} \bar{N}^{(i)} + \frac{1}{\lambda^2 C} \bar{M}^{(i)} + \frac{\varepsilon_1}{\lambda^2 C} \bar{P}^{(i)} + \frac{2h^* \varepsilon_1}{\lambda^2 C} \bar{N} + \frac{\varepsilon_1}{\lambda^2 C} \bar{P} - \frac{1}{\lambda^2 C} \bar{M} \end{aligned}$$

где

$$\frac{1}{G_1} = \frac{1}{g_1} + \frac{\varepsilon_0^2}{g_2}, \quad \frac{1}{G_2} = \frac{1}{g_1} - \frac{\varepsilon_1 \varepsilon_2}{g_2}$$

3. Обобщенное плоское напряженное состояние неоднородной ортотропной полубесконечной пластины, упругие характеристики которой меняются по закону (1.2), рассматривалось в работе [2], поэтому на нем останавливаться не будем. В трансформантах Фурье формулы, связывающие

компоненты точек границы неоднородной ортотропной пластины ($y = 0$) с приложенными к границе полубесконечной пластины усилиями (1.1), имеют вид

$$\begin{aligned} (\partial^3 \bar{u}_1)_{y=0} &= \frac{1}{E_1^{(0)}} (s_1 \bar{N}^{(i)} + i s_2 \bar{T}^{(i)}) \\ (\partial^3 \bar{v}_1)_{y=0} &= \frac{1}{E_1^{(0)}} (s_3 \bar{N}^{(i)} + i s_4 \bar{T}^{(i)}) \end{aligned} \quad (3.1)$$

где

$$\begin{aligned} s_1 &= v_1 k^2 - z_1 z_2 + \frac{k}{2} (z_1 + z_2) - \frac{k^2}{4}, \quad s_2 = z_1 + z_2 - k \\ s_3 &= (z_1 + z_2) \left[z_1 z_2 - \frac{k}{2} (z_1 + z_2) + \frac{k^2}{4} \right] \\ s_4 &= \frac{k^2}{4} + \frac{k}{2} (z_1 + z_2) - (z_1^2 + z_1 z_2 + z_2^2) - k^2 [v_1 - k_0 (1 + 2v_2) - 1] \\ z_{1,2} &= \sqrt{\frac{k^2}{4} + k_1 k^2 \pm \sqrt{k^2 (k_1^2 - k_0^2) - v_1 k^2}} \\ k_0 &= \frac{E_1^{(0)}}{E_2^{(0)}}, \quad k_1 = \frac{1}{2} [k_0 (1 + 2v_2) + (1 - 2v_1)] \end{aligned}$$

4. Рассмотрим изгиб неоднородной ортотропной пластины, упругие характеристики которой—экспоненциальные функции координаты y . Уравнения равновесия элемента ортотропной пластины при изгибе имеют вид [1].

$$\begin{aligned} \frac{\partial N_x}{\partial x} + \frac{\partial N_y}{\partial y} + q &= 0, \quad N_x = \frac{\partial M_x}{\partial x} + \frac{\partial H_{xy}}{\partial y}, \quad N_y = \frac{\partial M_y}{\partial y} + \frac{\partial H_{xy}}{\partial x} \\ M_x &= -D_1 \left(\frac{\partial^2 w_1}{\partial x^2} + v_2 \frac{\partial^2 w_1}{\partial y^2} \right), \quad M_y = -D_2 \left(\frac{\partial^2 w_1}{\partial y^2} + v_1 \frac{\partial^2 w_1}{\partial x^2} \right) \quad (4.1) \\ H_{xy} &= -2D_k \frac{\partial^2 w_1}{\partial x \partial y}, \quad D_1 = \frac{E_1 (2h)^3}{12 (1 - v_1 v_2)}, \\ D_2 &= \frac{E_2 (2h)^3}{12 (1 - v_1 v_2)}, \quad D_k = \frac{G (2h)^3}{12} \end{aligned}$$

где N_x , N_y —перерезывающие силы, действующие на пластину; M_x , M_y —изгибающие моменты; H_{xy} —скручивающий момент; q —нагрузка на единицу площади пластины; D_1 , D_2 , D_k —величины, характеризующие жесткости ортотропной пластины и зависящие от координаты y ; w_1 —прогиб пластины.

Принимая, что v_1 и v_2 постоянные и $q = 0$, и учитывая при этом выражения (1.2) и (2.4), из равенств (4.1) получим однородное дифферен-

циальное уравнение для определения трансформанты функции изгиба \bar{w}_1 , неоднородной ортотропной пластины

$$\frac{d^4\bar{w}_1}{dy^4} - 2k \frac{d^3\bar{w}_1}{dy^3} + \left\{ k^2 - i^2 \left[\frac{4k_0(1-\nu_1\nu_2)}{k_0(1+2\nu_2)+1} + k_0\nu_2 - \nu_1 \right] \right\} \frac{d^2\bar{w}_1}{dy^2} + \\ + 2i^2k \left[\frac{2k_0(1-\nu_1\nu_2)}{k_0(1+2\nu_2)+1} + \nu_1 \right] \frac{d\bar{w}_1}{dy} + (k_0)^4 - k^2\nu_1 i^2 \bar{w}_1 = 0 \quad (4.2)$$

Решение уравнения (4.2) будем искать в виде

$$\bar{w}_1 = \sum_{n=1}^4 B_n e^{\left(\beta_n + \frac{k}{2}\right)y} \quad (y < 0) \quad (4.3)$$

Подставляя выражение (4.3) в уравнение (4.2), получим

$$\beta_n^4 - 2 \left(\frac{k^2}{4} + i^2 k_2 \right) \beta_n^2 + \frac{k^4}{16} + \frac{k^2 i^2}{2} k_2 + k_0^4 - k^2 \nu_1 i^2 = 0 \quad (4.4)$$

где

$$k_2 = \frac{2k_0(1-\nu_1\nu_2)}{k_0(1+2\nu_2)+1} + \nu_1$$

Отсюда находим β_n

$$\beta_n = \pm \sqrt{\frac{k^2}{4} + k_2 i^2 \pm \sqrt{i^4(k_2^2 - k_0^2) + k^2 \nu_1 i^2}} \quad (4.5)$$

Для решения уравнения (4.2) в виде (4.3) с учетом (4.4) необходимо удержать члены, исчезающие на бесконечности. Значит, соотношение для \bar{w}_1 записывается

$$\bar{w}_1(\lambda, y) = B_1(\lambda) e^{\left(\beta_1 + \frac{k}{2}\right)y} + B_2(\lambda) e^{\left(\beta_2 + \frac{k}{2}\right)y} \quad (4.6)$$

где

$$\beta_{1,2} = \sqrt{\frac{k^2}{4} + k_2 i^2 \pm \sqrt{i^4(k_2^2 - k_0^2) + k^2 \nu_1 i^2}}$$

$B_1(\lambda)$, $B_2(\lambda)$ — неизвестные функции параметра λ , подлежащие определению из граничных условий (1.1).

На контуре спая пластины с подкрепляющим элементом ($y = 0$) на основании уравнений (1.1) и (4.1) будут иметь место равенства

$$\left. \left| \frac{d^3\bar{w}_1}{dy^3} - k \frac{d^2\bar{w}_1}{dy^2} - i^2(2k_2 - \nu_1) \frac{d\bar{w}_1}{dy} + k\nu_1 i^2 \bar{w}_1 \right| \right|_{y=0} = \\ = -\frac{3(1-\nu_1\nu_2)}{2h^3 E_2^{(0)}} P^{(0)} \quad (4.7)$$

$$\left[\frac{d^2\bar{w}_1}{dy^2} - v_1 \lambda^2 \bar{w}_1 \right]_{y=0} = - \frac{3(1-v_1 v_2)}{2h^3 E_2^{(0)} v_0} \bar{M}^{(i)}$$

Подставляя выражение (4.6) в равенства (4.7), найдем $B_1(\lambda)$ и $B_2(\lambda)$. Тогда

$$\begin{aligned} (\bar{w}_1)_{y=0} &= \frac{3(1-v_1 v_2)}{2h^3 E_2^{(0)} v_0} (v_1 \bar{L}^{(i)} - v_2 \bar{M}^{(i)}) \\ \left(\frac{d\bar{w}_1}{dy} \right)_{y=0} &= \frac{3(1-v_1 v_2)}{2h^3 E_2^{(0)} v_0} (v_3 \bar{P}^{(i)} - v_4 \bar{M}^{(i)}) \end{aligned} \quad (4.8)$$

Здесь введены обозначения

$$\begin{aligned} v_0 &= \beta_1^2 \beta_2^2 + \left(\frac{k^2}{4} - v_1 \lambda^2 \right) (\beta_1^2 + \beta_1 \beta_2 + \beta_2^2) + \left| \frac{3}{4} k^2 + \lambda^2 (2k_2 - v_1) \right| \beta_1 \beta_2 + \\ &\quad + k \left| \beta_1 \beta_2 + \lambda^2 (k_2 - 2v_1) + \frac{k^2}{4} \right| (\beta_1 + \beta_2) + \\ &\quad + \frac{k^2 \lambda^2}{2} (k_2 - 2v_1) + v_1 \lambda^4 (2k_2 - v_1) + \frac{k^4}{16} \\ v_1 &= \beta_1 + \beta_2 + k, \quad v_3 = \beta_1 \beta_2 + \frac{k}{2} (\beta_1 + \beta_2) + v_1 \lambda^2 + \frac{k^2}{4} \\ v_2 &= \beta_1^2 + \beta_1 \beta_2 + \beta_2^2 + \frac{k}{2} (\beta_1 + \beta_2) - \lambda^2 (2k_2 - v_1) - \frac{k^2}{4} \\ v_4 &= \beta_1 \beta_2 \left(\frac{k}{2} + \beta_1 + \beta_2 \right) + \frac{k}{2} (\beta_1^2 + \beta_1 \beta_2 + \beta_2^2) + \frac{k^2}{4} (\beta_1 + \beta_2) - k v_1 \lambda^2 \end{aligned}$$

5. Исходя из условий равенства перемещений на контуре спая (1.1), на основании соотношений (2.5), (3.1), (4.8) получим

$$\begin{aligned} a_{11} \bar{N}^{(i)} + a_{12} \bar{T}^{(i)} + a_{13} \bar{P}^{(i)} &= c_{11} \bar{N} + c_{12} \bar{T} + c_{13} \bar{P} \\ a_{21} \bar{N}^{(i)} + a_{22} \bar{T}^{(i)} &= c_{21} \bar{N} + c_{22} \bar{T} \\ a_{31} \bar{N}^{(i)} + a_{32} \bar{T}^{(i)} + a_{33} \bar{P}^{(i)} + a_{34} \bar{M}^{(i)} &= c_{31} \bar{N} + c_{32} \bar{T} + c_{33} \bar{P} + c_{34} \bar{M} \\ a_{41} \bar{N}^{(i)} + a_{43} \bar{P}^{(i)} + a_{44} \bar{M}^{(i)} &= c_{41} \bar{N} + c_{43} \bar{P} + c_{44} \bar{M} \end{aligned} \quad (5.1)$$

где

$$\begin{aligned} a_{11} &= 2h\varepsilon_1 + \frac{g_2 s_1}{E_1^{(0)}}, \quad a_{12} = \tilde{\rho} \cdot \left[2h g_2 \left(\frac{1}{G_1} + \frac{\zeta_0^2}{A} \right) + \frac{g_2 s_2}{E_1^{(0)}} \right], \quad a_{13} = - \frac{\zeta_0 g_2}{A} \\ a_{21} &= 2h + \frac{g_2 s_3}{E_1^{(0)}}, \quad a_{22} = \tilde{\rho} \cdot \left(2h \varepsilon_1 + \frac{g_2 s_4}{E_1^{(0)}} \right), \quad a_{31} = 2h \varepsilon_1 \lambda^2 \zeta_0 \end{aligned}$$

$$a_{32} = -i\zeta_0 \frac{2hC}{A}, \quad a_{23} = \frac{3i^2\omega_1(1-\gamma_1\gamma_2)C}{2\omega_0 h^3 E_2^{(0)}} + i^2\zeta_1^2 + \frac{C}{A}$$

$$a_{34} = \zeta_1 i^2 - \frac{3i^2\omega_2(1-\gamma_1\gamma_2)C}{2\omega_0 h^3 E_2^{(0)}}, \quad a_{41} = 2h\zeta_0$$

$$a_{43} = \zeta_1 - \frac{3i^2\omega_3(1-\gamma_1\gamma_2)C}{2\omega_0 h^3 E_2^{(0)}}, \quad a_{44} = 1 + \frac{3i^2\omega_4(1-\gamma_1\gamma_2)C}{2\omega_0 h^3 E_2^{(0)}}$$

$$c_{11} = 2h^2\zeta_1, \quad c_{12} = 2h^2\bar{\nu}g_2\left(\frac{1}{G_2} + \frac{\zeta_0\zeta_1}{A}\right), \quad c_{13} = -\frac{\zeta_0\zeta_2}{A}, \quad c_{21} = 2h^2$$

$$c_{22} = -2h^2\bar{\nu}\zeta_2, \quad c_{23} = \frac{C}{A} - i^2\zeta_1\zeta_2, \quad c_{34} = i^2\zeta_1, \quad c_{31} = -2h^2\zeta_1^2\zeta_1$$

$$c_{32} = -2h^2\bar{\nu}\zeta_1 \frac{C}{A}, \quad c_{41} = -2h^2\zeta_1; \quad c_{43} = \zeta_2, \quad c_{44} = -1$$

Система уравнений (5.1) служит для определения трансформант контактных усилий $\bar{N}^{(i)}$, $\bar{T}^{(i)}$, $\bar{P}^{(i)}$ и моментов $\bar{M}^{(i)}$ при несимметричном подкреплении упругим элементом неоднородной ортотропной пластины, упругие характеристики которой — экспоненциальные функции координаты y . Сами же контактные усилия и моменты восстанавливаются при помощи формулы обращения (2.4). В случае симметричного подкрепления ($\zeta_e = 0$) система уравнений (5.1) распадается на две независимые.

6. Рассмотрим случай нагружения подкрепляющего элемента внешним нормальным усилием $N(x)$ ($T=0, P=0, M=0$) при $\zeta_e=0$. Тогда

$$c_{12} = c_{13} = c_{22} = c_{31} = c_{23} = c_{33} = c_{34} = c_{41} = c_{43} = c_{44} = 0 \quad (6.1)$$

Решение системы уравнений (5.1) в этом случае, учитывая соотношения (2.4), представим в виде

$$N^{(i)}(x) = \frac{c_{21}}{\pi} \int_0^\infty \frac{R_1(i)}{R_0(i)} d\lambda \int_{-\infty}^\infty N(t) \cos i\lambda(t-x) dt$$

$$T^{(i)}(x) = \frac{c_{21}}{\pi} \int_0^\infty \frac{R_2(i)}{R_0(i)} d\lambda \int_{-\infty}^\infty N(t) \sin i\lambda(t-x) dt \quad (6.2)$$

$$P^{(i)}(x) = \frac{c_{21}}{\pi} \int_0^\infty \frac{R_3(i)}{R_0(i)} d\lambda \int_{-\infty}^\infty N(t) \cos i\lambda(t-x) dt$$

$$M^{(i)}(x) = \frac{c_{21}}{\pi} \int_0^\infty \frac{R_4(i)}{R_0(i)} d\lambda \int_{-\infty}^\infty N(t) \cos i\lambda(t-x) dt$$

где

$$\begin{aligned}
 R_0(z) &= (a_{11}a_{22}^* - a_{12}a_{21}^*) (a_{33}a_{44} - a_{34}a_{43}) - a_{13}[a_{22}^*(a_{34}a_{41} - a_{31}a_{44}) + \\
 &+ a_{21}a_{32}^*a_{44}], \quad R_1(z) = (\varepsilon_1a_{22}^* - a_{12}^*)(a_{33}a_{44} - a_{34}a_{43}) + a_{13}a_{22}^*a_{44} - \\
 &- a_{21}a_{32}^*a_{44}], \quad R_2(z) = (a_{11} - \varepsilon_1a_{21})(a_{33}a_{44} - a_{34}a_{43}) + a_{13}(a_{34}a_{41} - a_{31}a_{44}) \\
 &- a_{21}a_{32}^*(a_{34}a_{41} - a_{31}a_{44}) + a_{22}^*a_{44}(\varepsilon_1a_{21} - a_{11}) \\
 &- \varepsilon_1[a_{13}(a_{21}a_{22}^* - a_{22}^*a_{31}) + a_{22}^*a_{33}a_{41}] \\
 a_{12}^* &= 2hg_2\left(\frac{1}{G_1} + \frac{\zeta_0^2}{A}\right) + \frac{g_2s_2}{E_1^{(0)}}, \quad a_{22}^* = 2h\varepsilon_1 + \frac{g_2s_4}{E_1^{(0)}}, \quad a_{32}^* = -\frac{2hC\varepsilon_0}{A}
 \end{aligned}$$

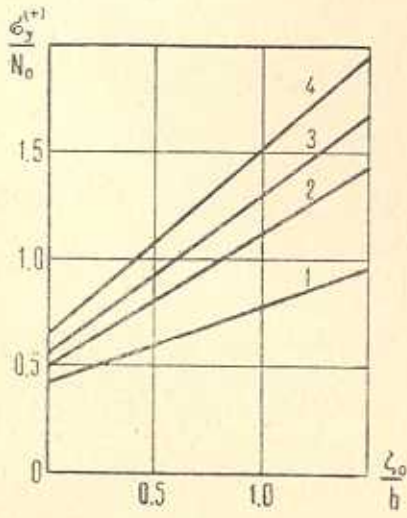
Для примера рассмотрим неоднородную ортотропную пластину и подкрепляющий упругий элемент прямоугольного сечения $b \times 2h^*$ со следующими упругими, жесткостными и геометрическими характеристиками:

$$\frac{2h^*}{2h} = 2.5, \quad \frac{E^*}{E_1^{(0)}} = \frac{E_1^{(0)}}{E_2^{(0)}} = 2, \quad C = \frac{0.249 E^* b^3 h^*}{1 + \nu^*}, \quad A = \frac{2}{3} E^* b h^{*2}$$

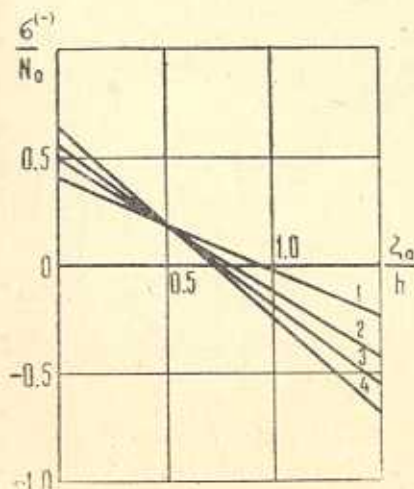
$$g_1 = 2h^* b E^*, \quad g_2 = \frac{1}{6} E^* b h^{*2}, \quad b = 2h, \quad \varepsilon_1 = \varepsilon_2 = h, \quad \nu^* = \nu_1 = 0.3$$

Упругий элемент нагружен внешней сосредоточенной силой N_0 .

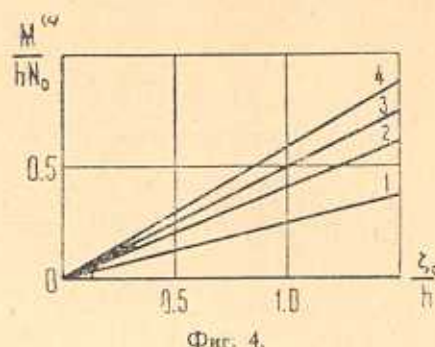
На фиг. 2, 3 приведены зависимости контактных напряжений $\sigma_g^{(+)}$ и $\sigma_g^{(-)}$ на краях пластины, когда $z = -h$ и $z = h$, при $x = 0$ от эксцентрикитета подкрепления ζ_0 . Кривые 1, 2, 3, 4 соответствуют значениям параметра $k = 0; 0.5; 1.0; 2.0$.



Фиг. 2.



Фиг. 3.



Фиг. 4.

Зависимость контактных моментов $M^{(i)}$ от эксцентрикитета подкрепления ζ_0 при $x=0$ и тех же значениях k представлена на фиг. 4.

Львовский госуниверситет
им. И. Франко

Поступила 9 III 1977

С. Л. МАРТИНОВИЧ, В. Е. ЮРЫНЕНС

УДК 539.3.01:537.492 ОРTHOTROPIC PLATE WITH AN ASYMMETRICALLY STRENGTHENED EDGE: CONTACT INTERACTION WITH AN ELASTIC ELEMENT

А б с т р а к т

Задача о контактном состоянии неоднородной ортотропной полусинтетической пластины с асимметрично упрочненным краем решена методом Фурье-переходных преобразований. Показано, что контактный момент зависит от эксцентрикитета подкрепления и коэффициента упрочнения края.

ON CONTACT INTERACTION OF A NON-HOMOGENEOUS ORTHOTROP PLATE WITH AN ASYMMETRICALLY STRENGTHENED ELASTIC ELEMENT

T. L. MARTYNOVICH, V. E. YURYNETS

S u m m a r y

The problem of the tense state of a non-homogeneous orthotrop semiinfinite plate, whose characteristics are the exponential function of the coordinate with an asymmetrically strengthened edge, is solved by the method of the Fourier integral transformations.

Л И Т Е Р А Т У Р А

- Лехникук С. Г. Анизотропные пластики. М., Гостехтеориздат, 1957.
- Мартынович Т. Л., Юринец В. Е., Нищенко И. А. Неоднородная ортотропная полу-плоскость с подкрепленным краем. Изв. АН АрмССР, Механика, 1976, XXIX, № 3.
- Известия АН Армянской ССР, Механика, № 3